

Fig. 1

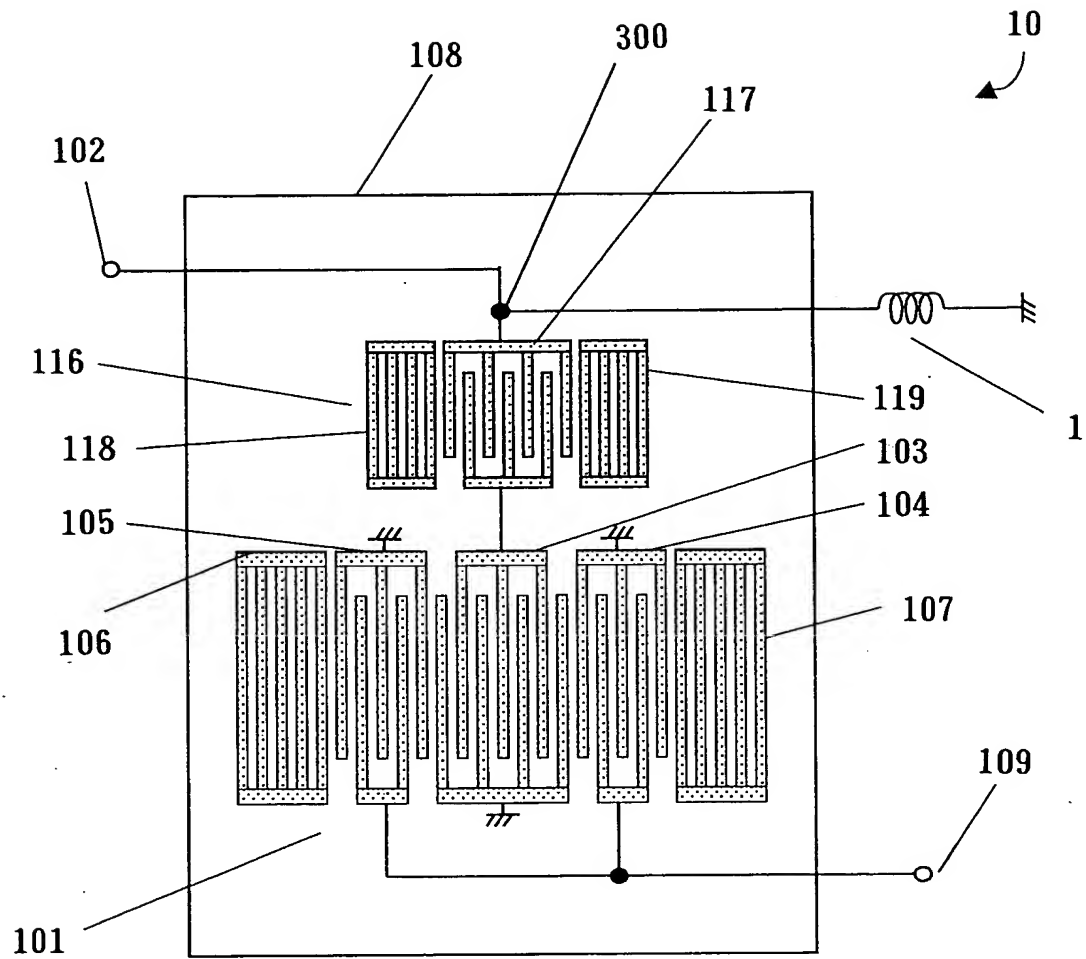


Fig. 2

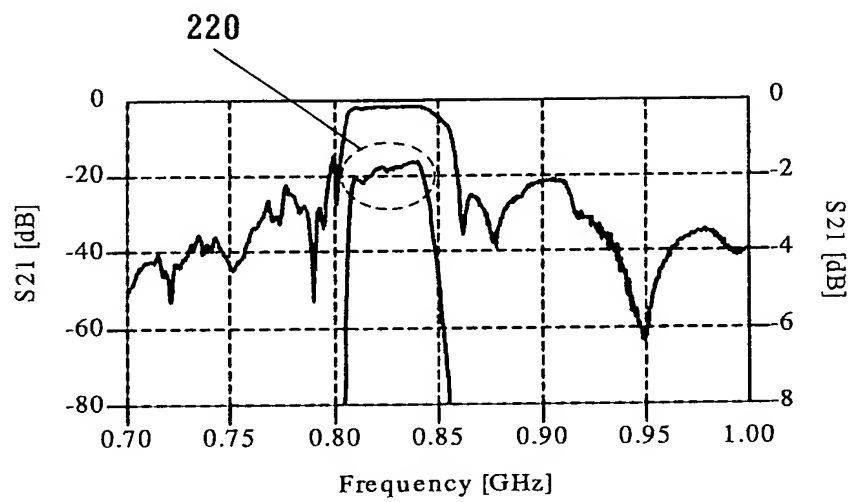


Fig. 3

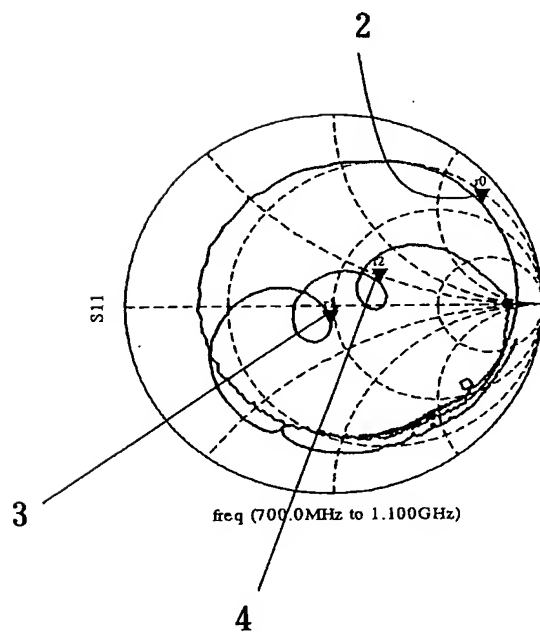


Fig. 4

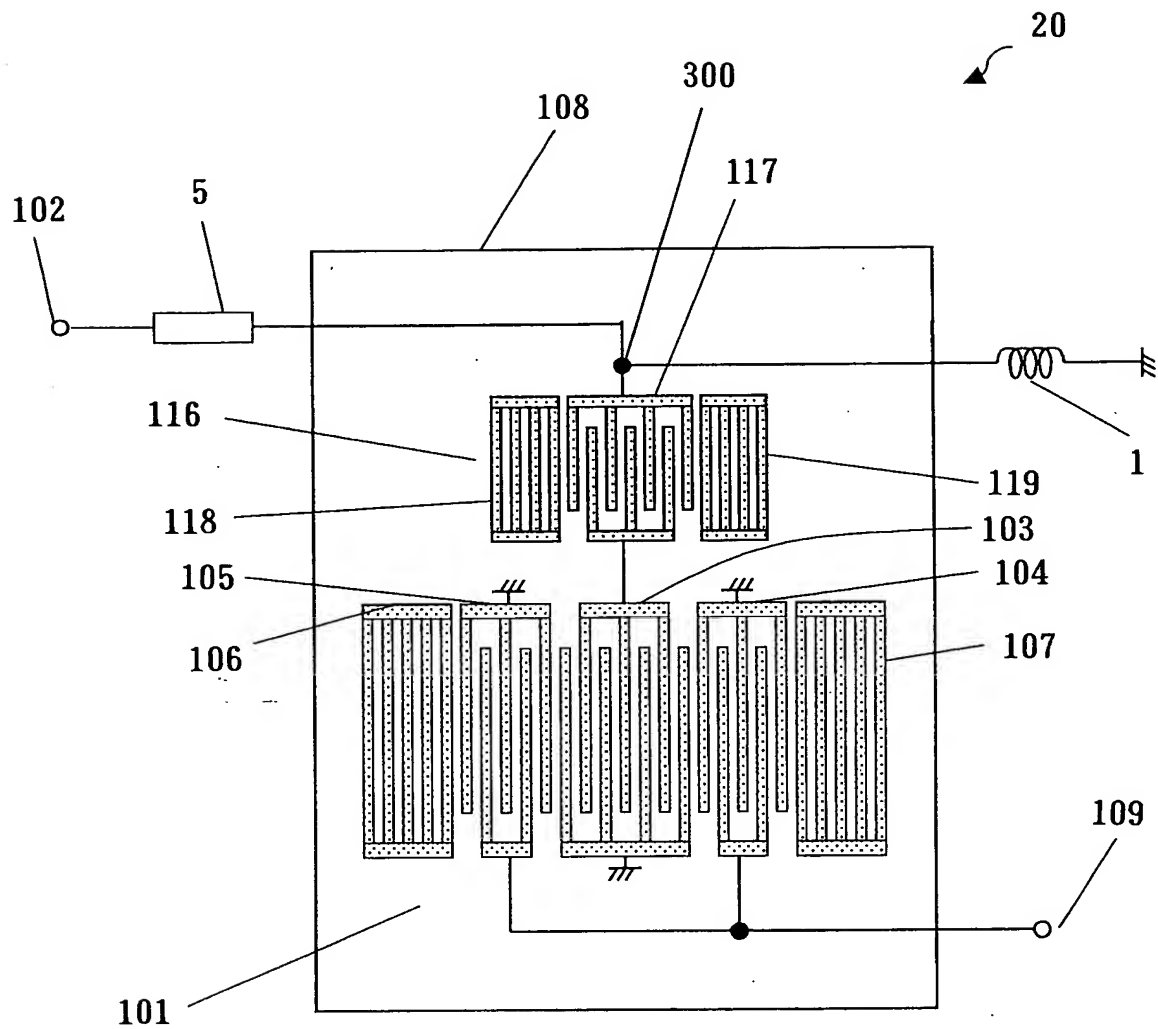


Fig. 5

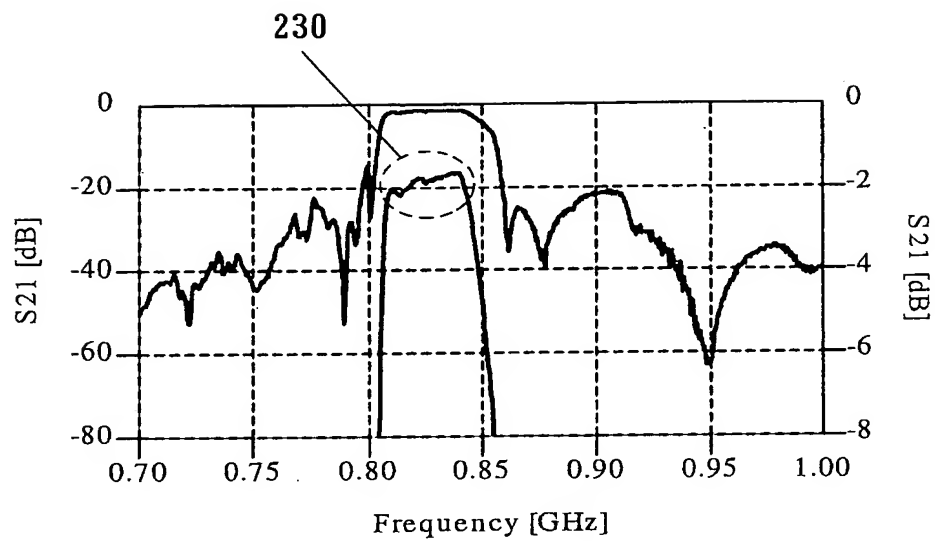


Fig. 6

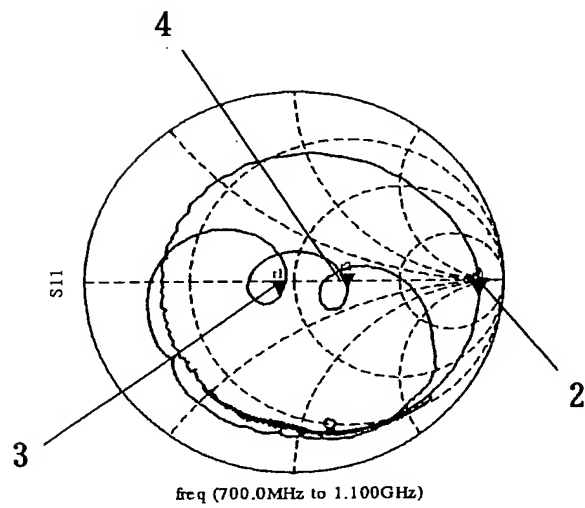


Fig. 7

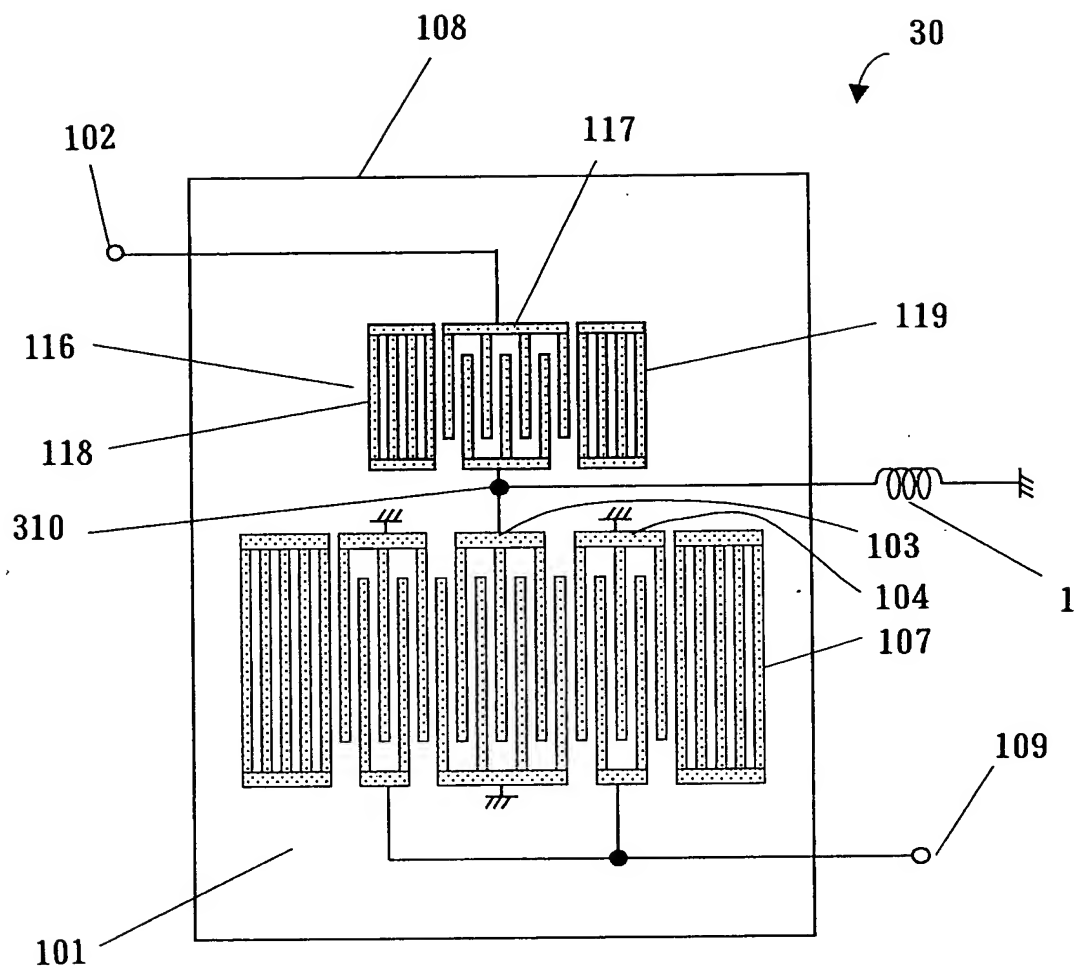


Fig. 8

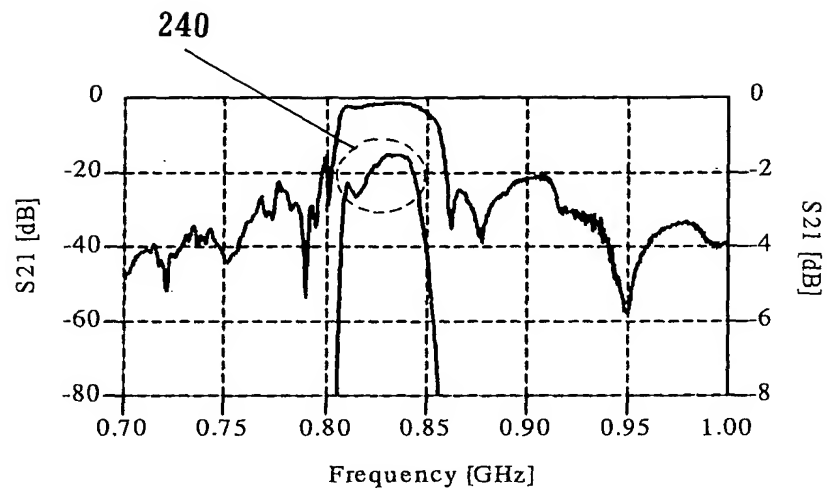


Fig. 9

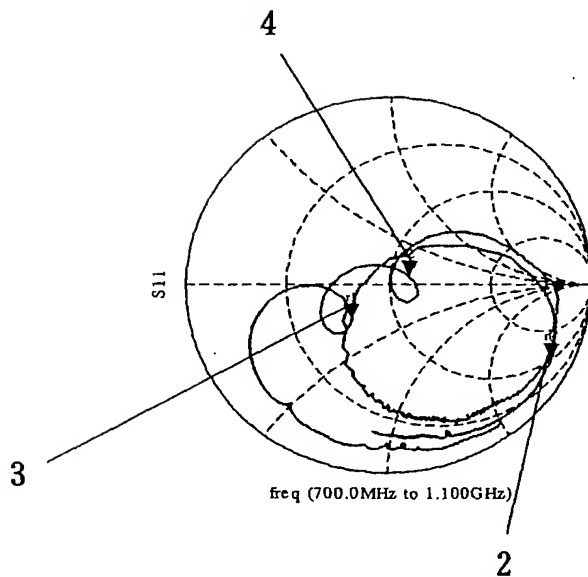


Fig. 10

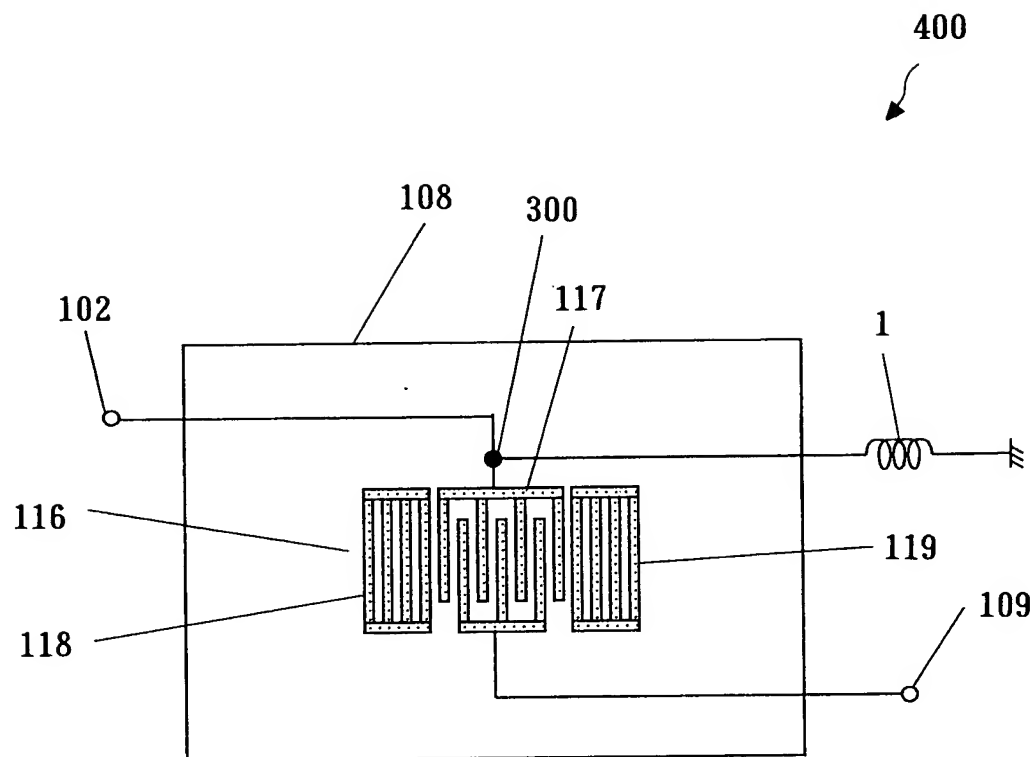


Fig. 11

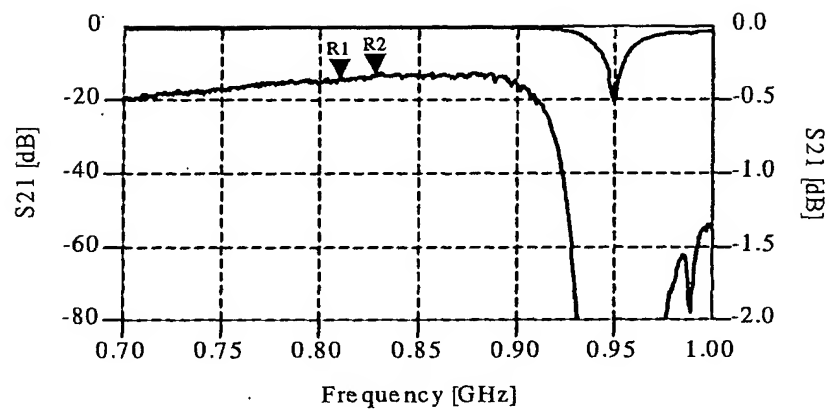


Fig. 12

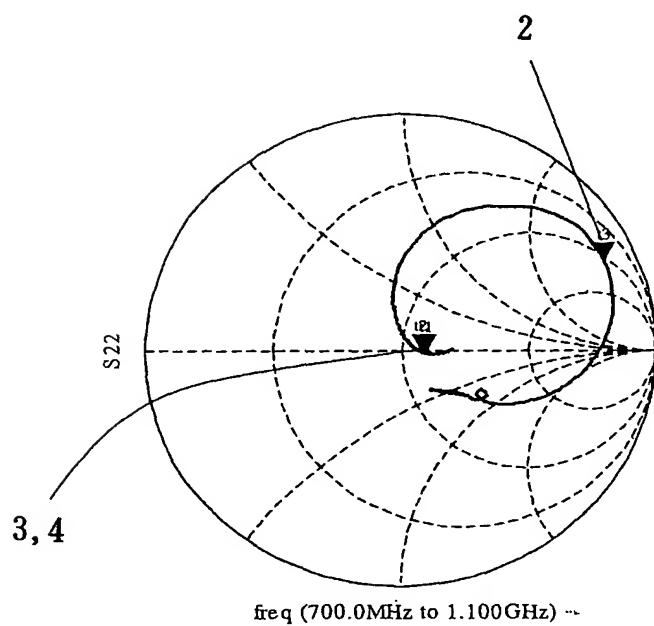




Fig. 13

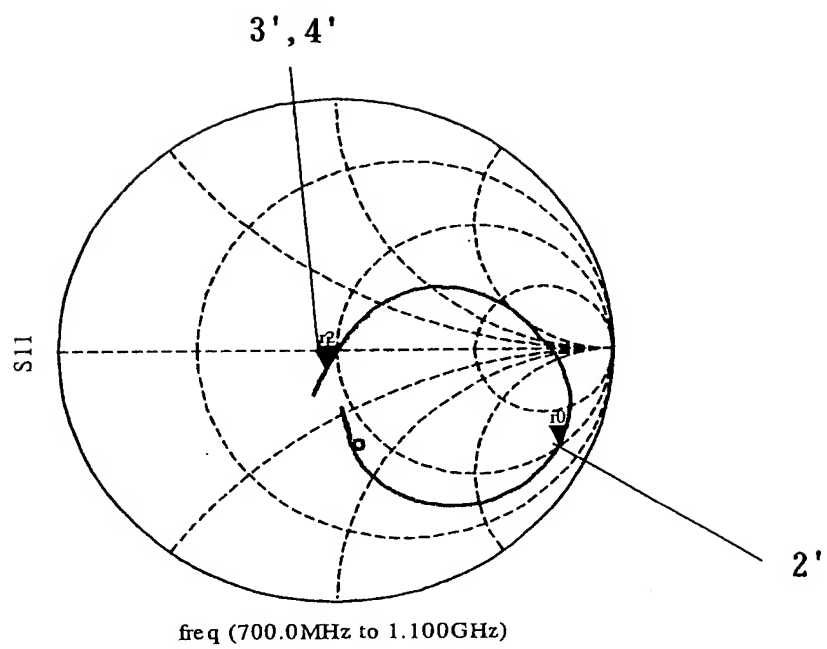


Fig. 14

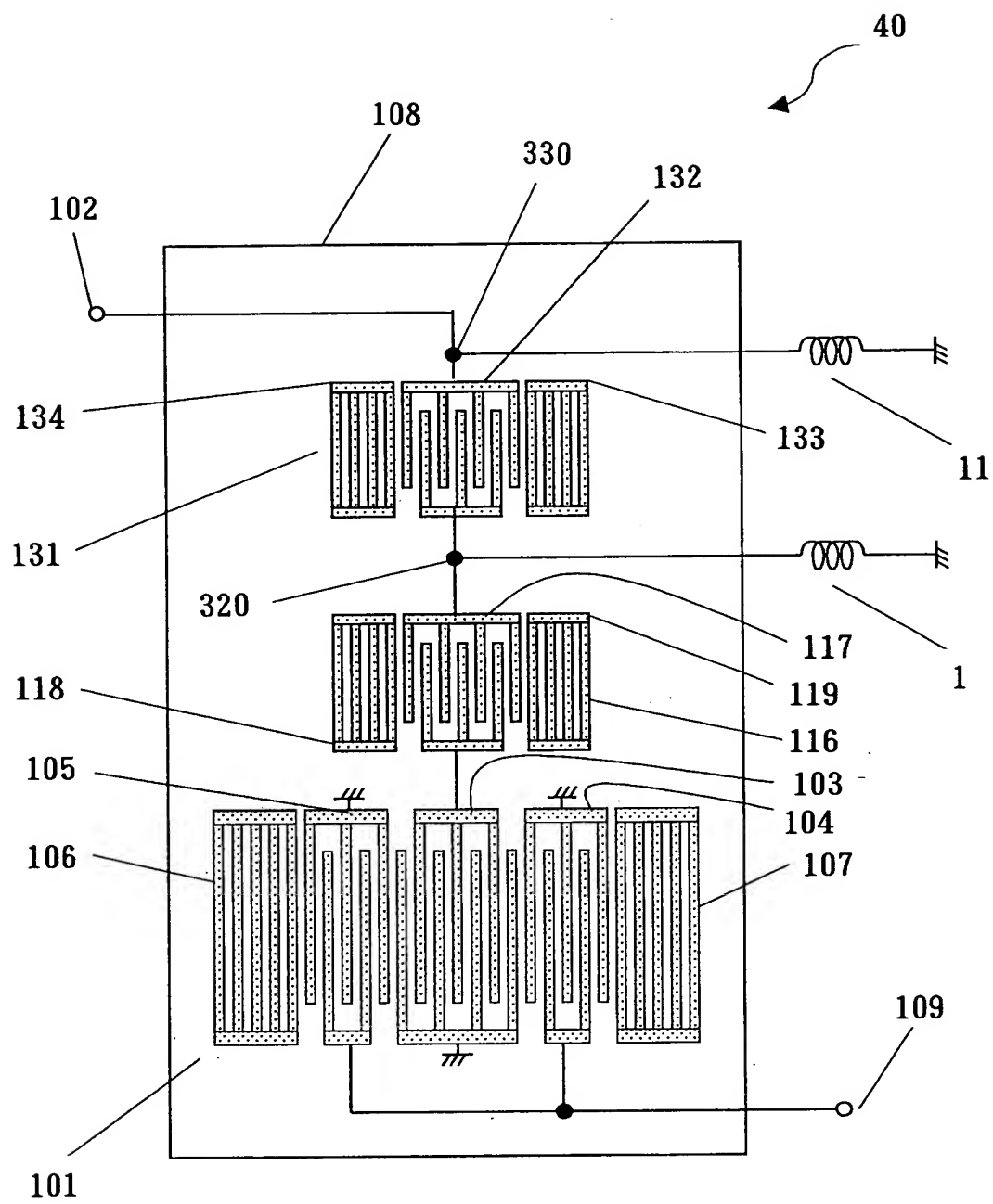


Fig. 15

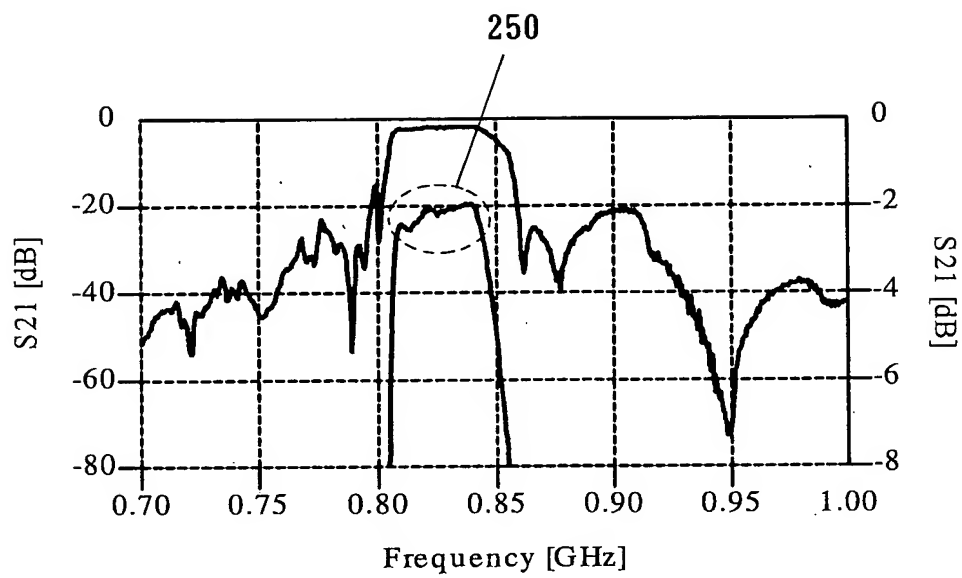


Fig. 16

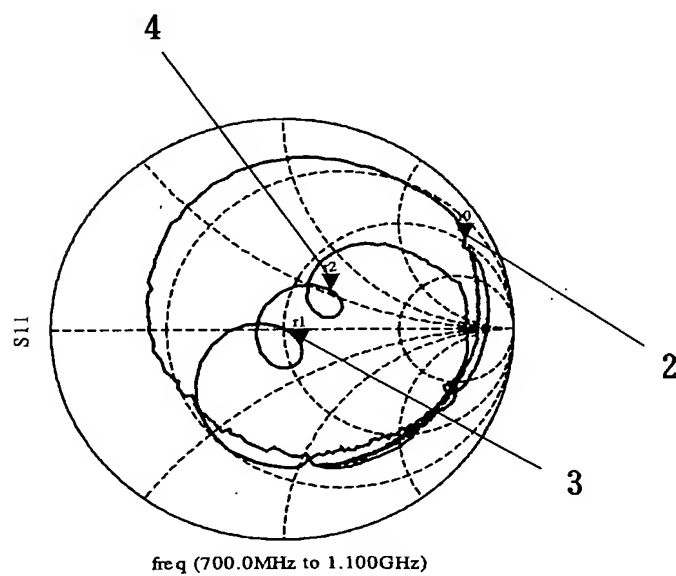


Fig. 17 (a)

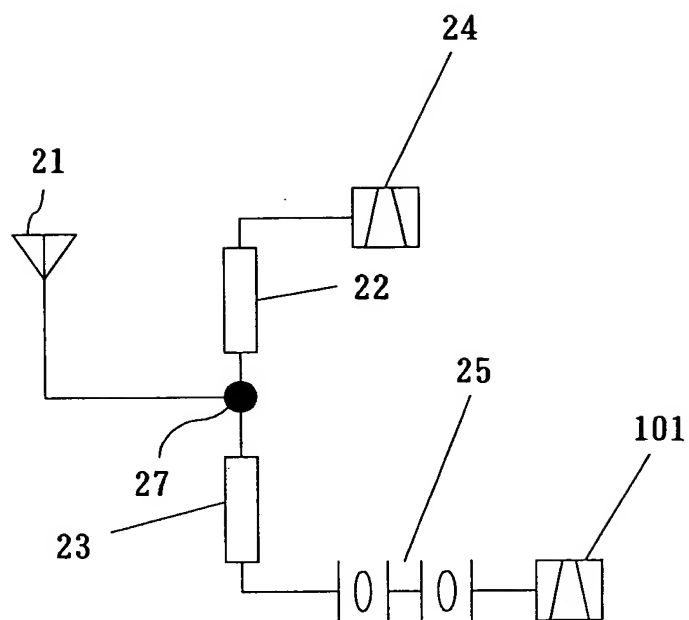


Fig. 17 (b)

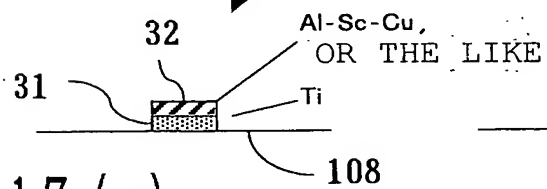


Fig. 17 (d)

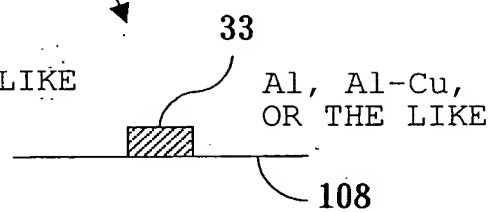


Fig. 17 (c)

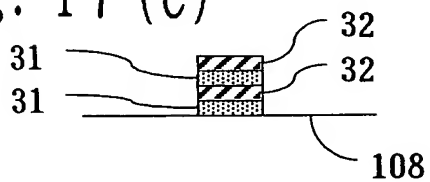


Fig. 18

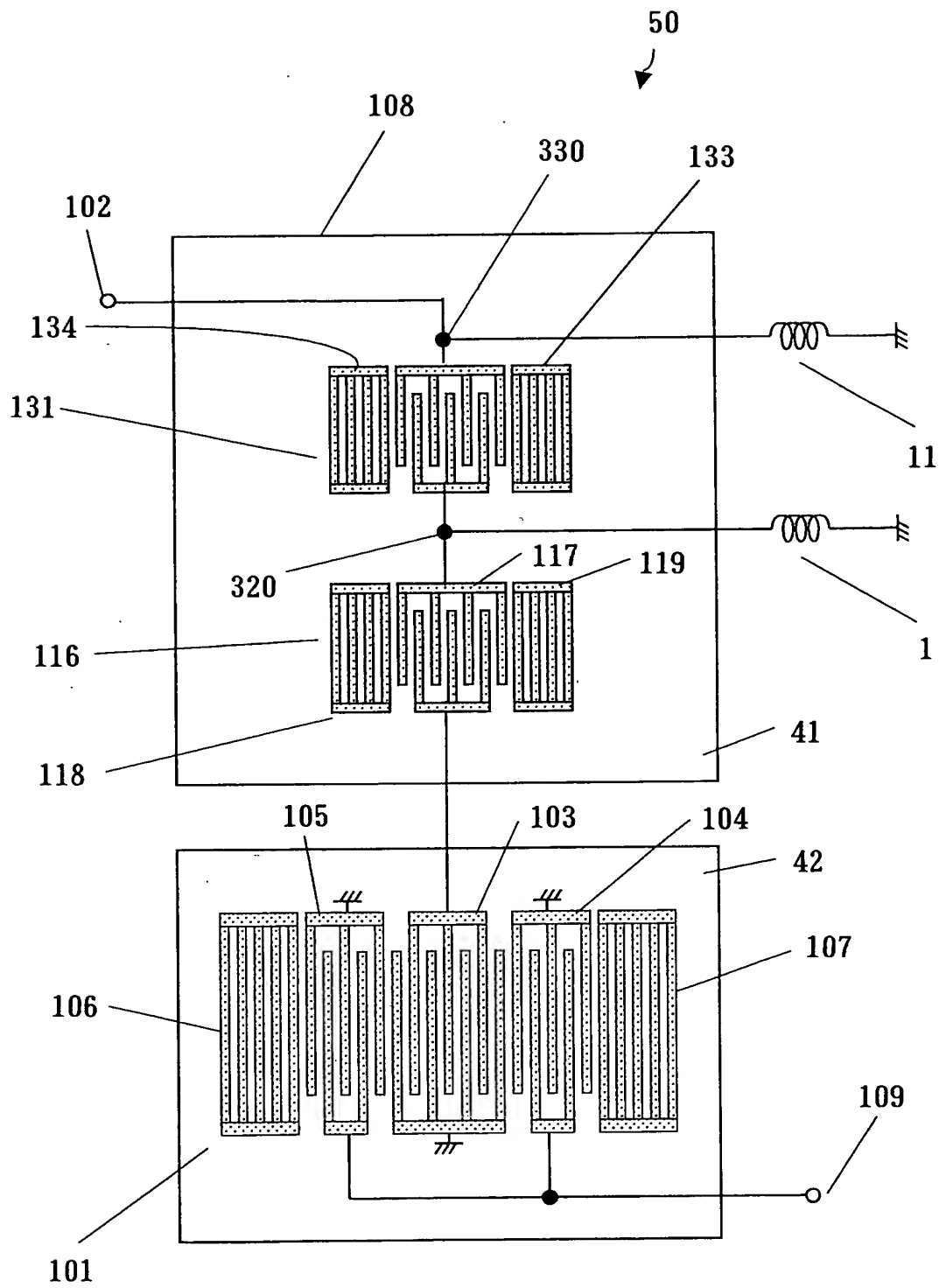


Fig. 19

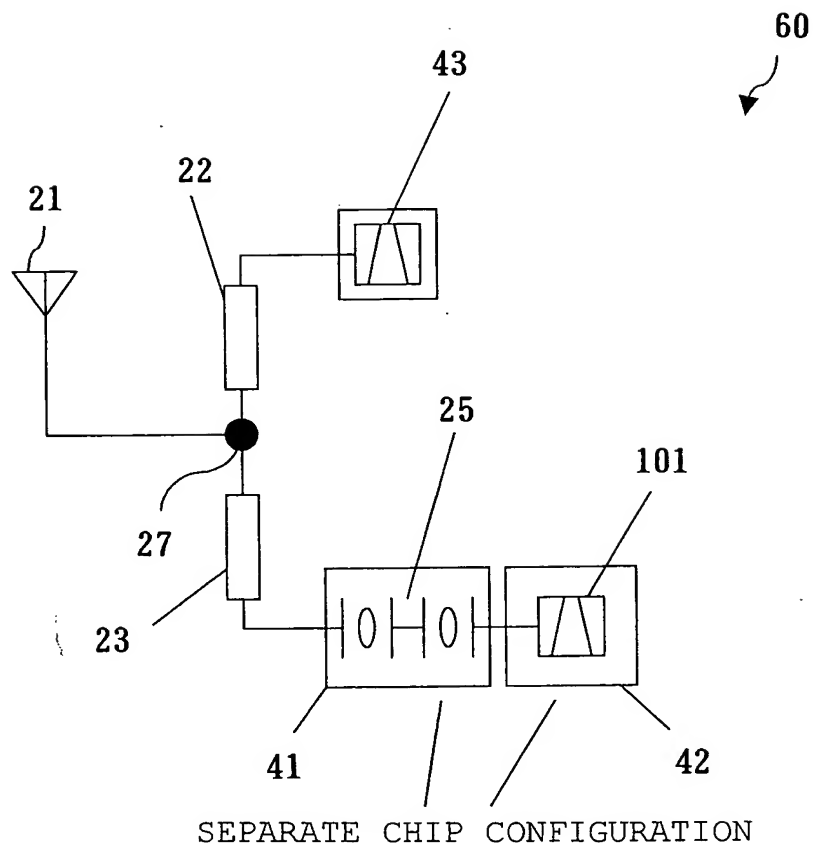


Fig. 20

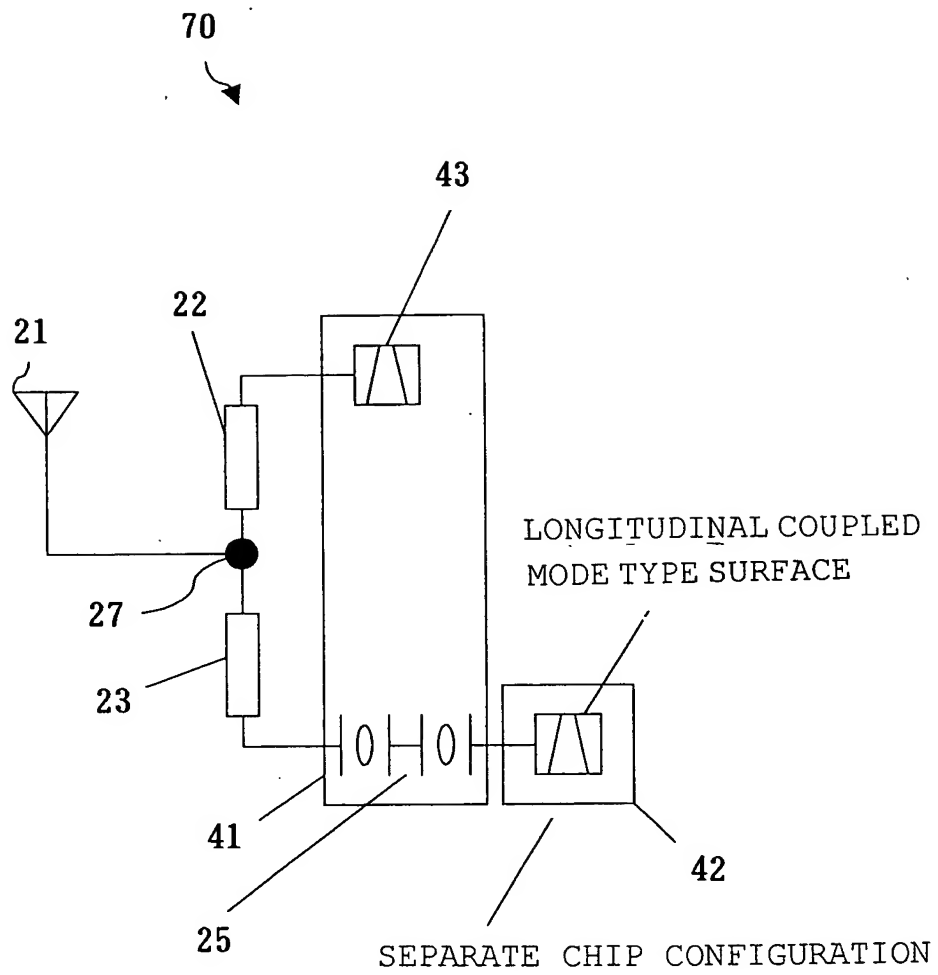


Fig. 21

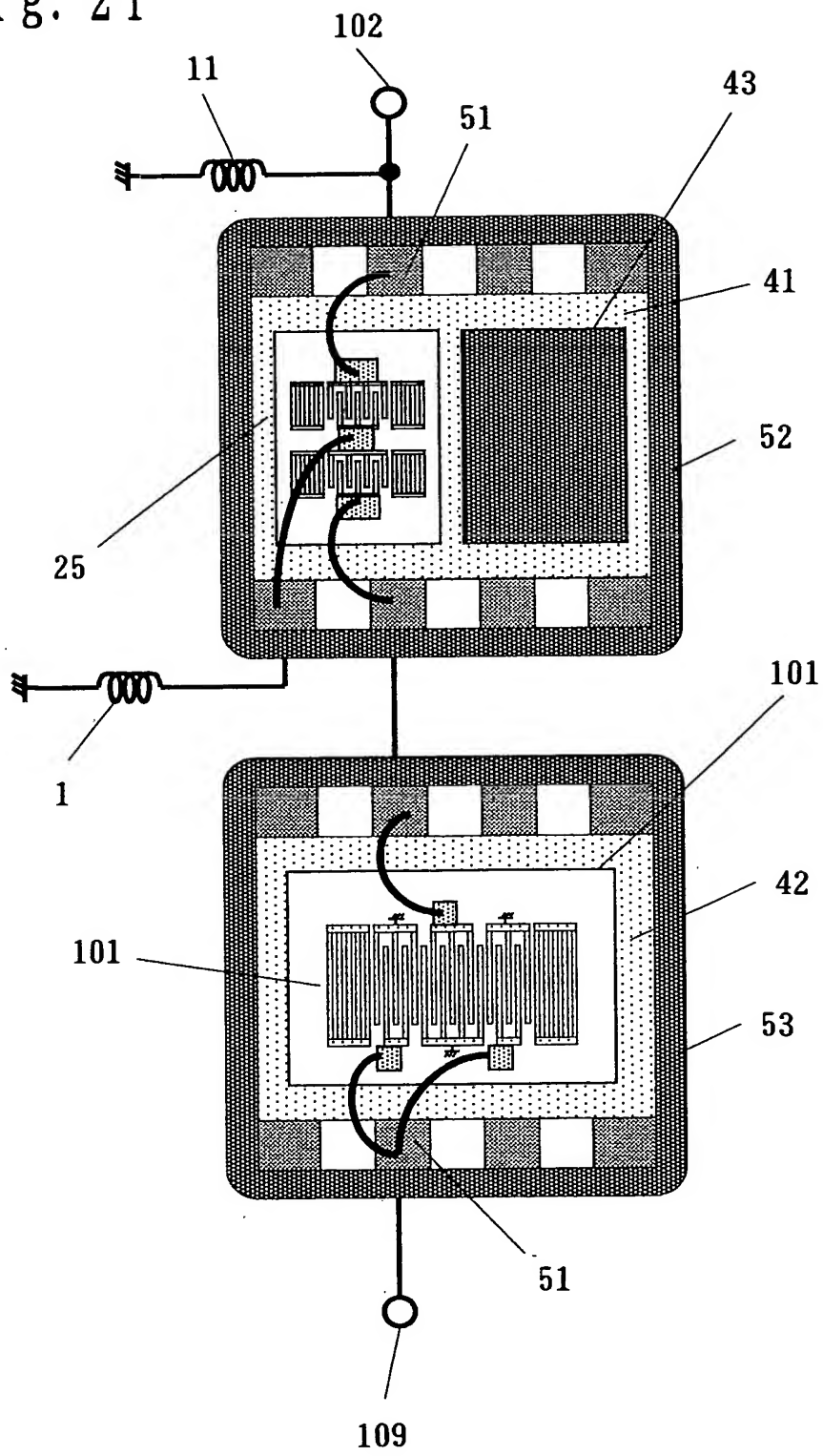




Fig. 22 (a)

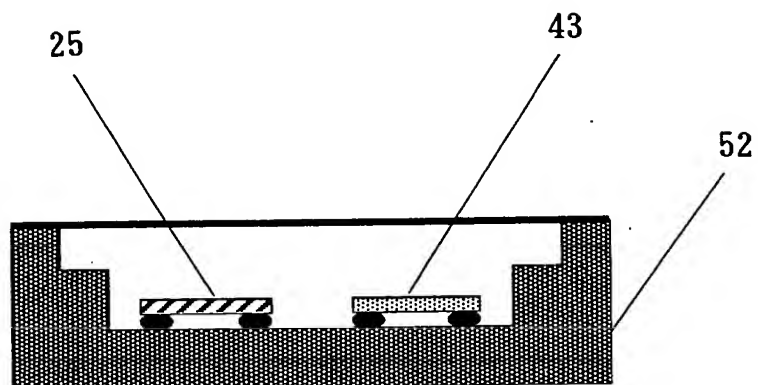


Fig. 22 (b)

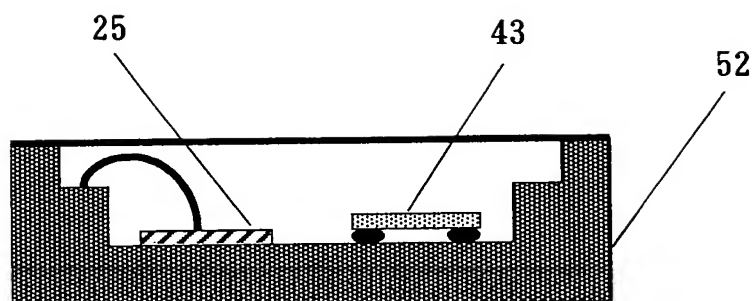


Fig. 22 (c)

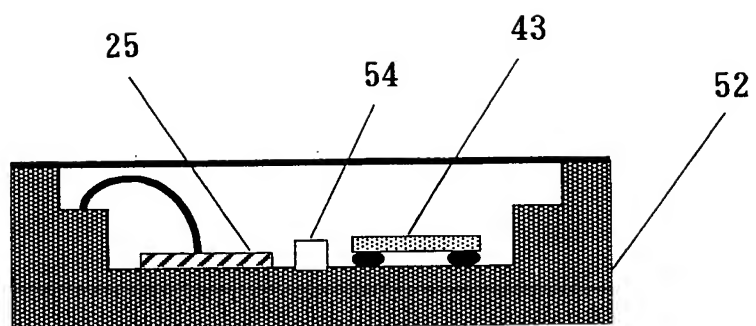


Fig. 23 PRIOR ART

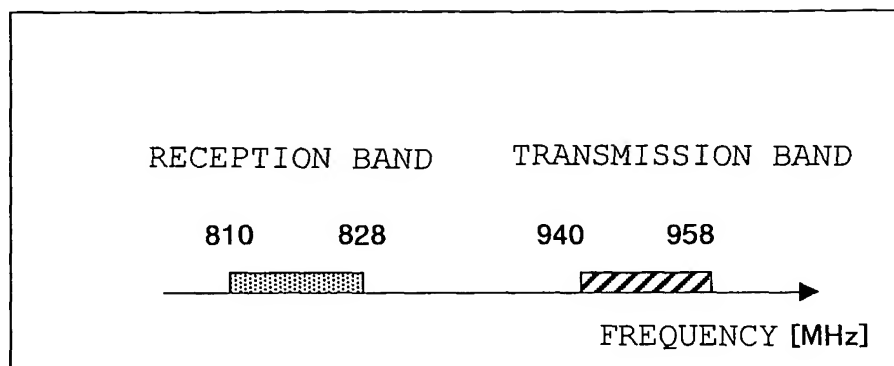


Fig. 24 PRIOR ART

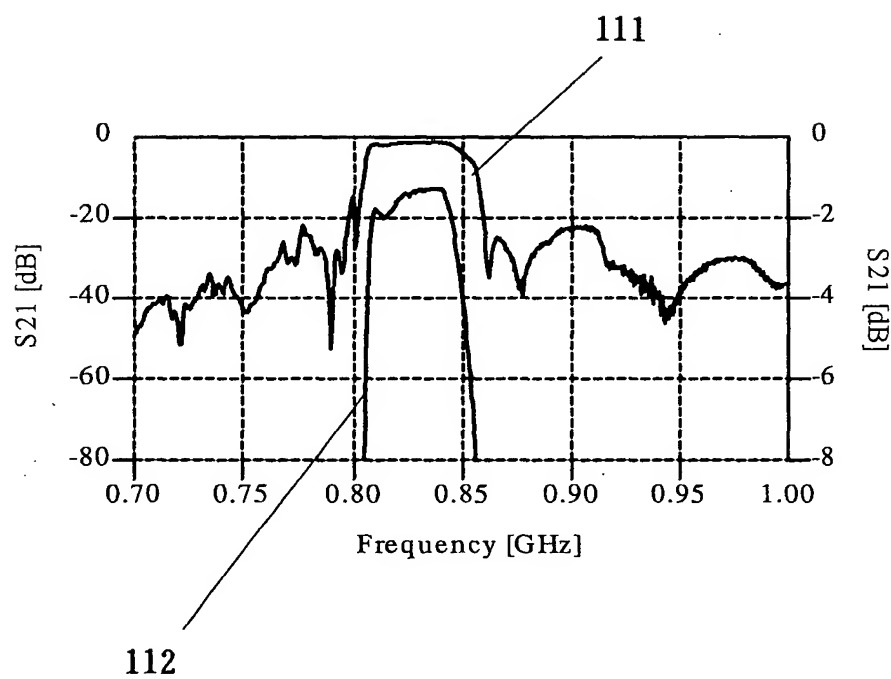


Fig. 25 PRIOR ART

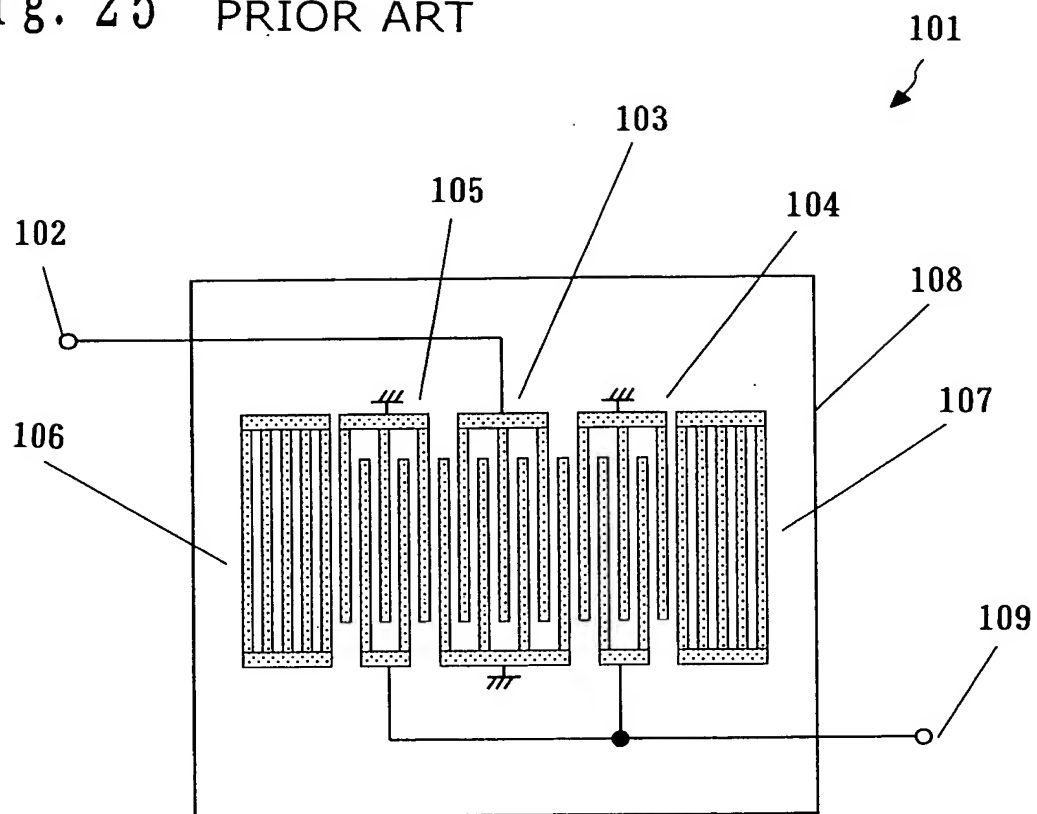


Fig. 26 PRIOR ART

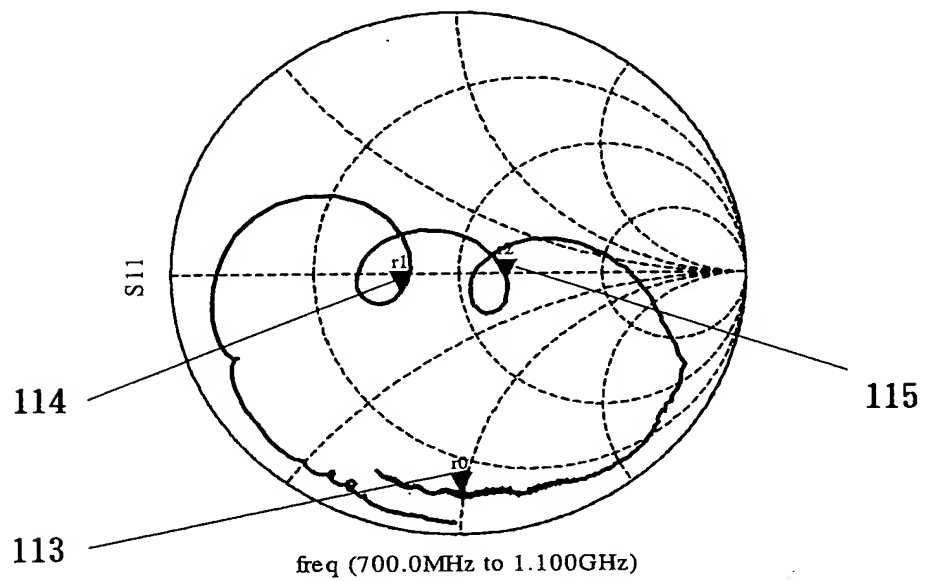


Fig. 27 PRIOR ART

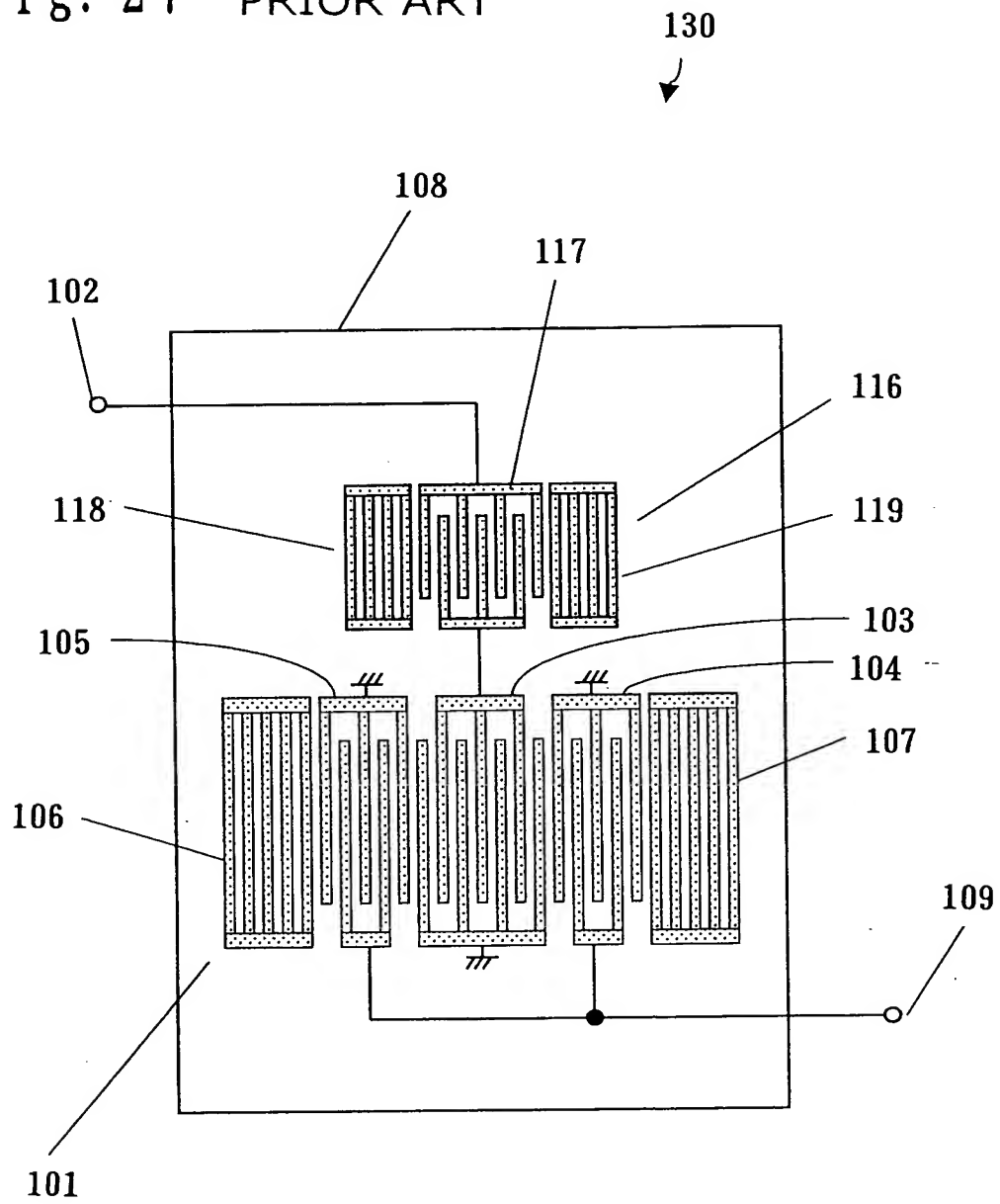


Fig. 28 PRIOR ART

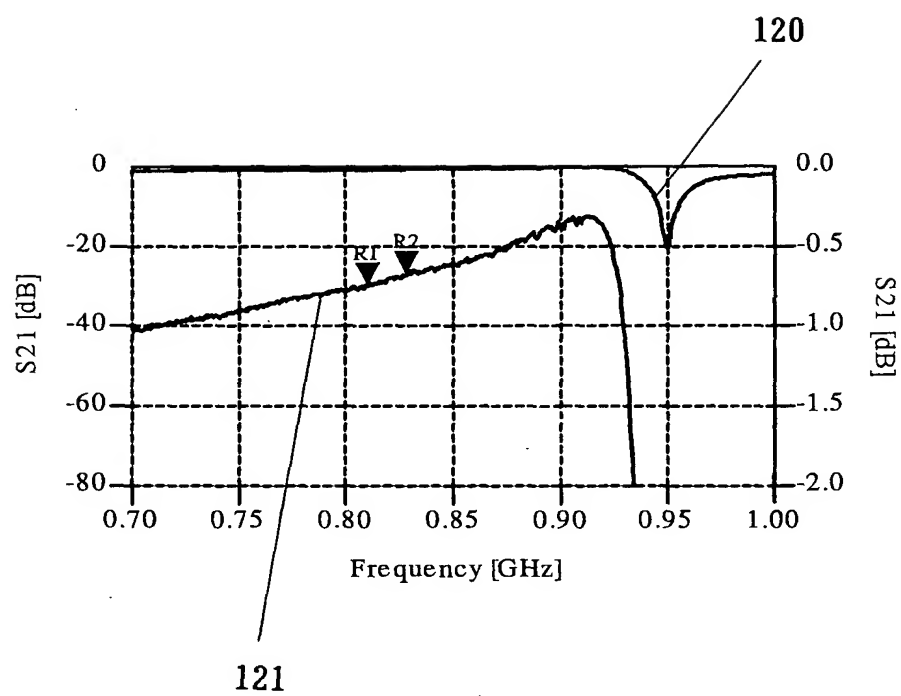


Fig. 29 PRIOR ART

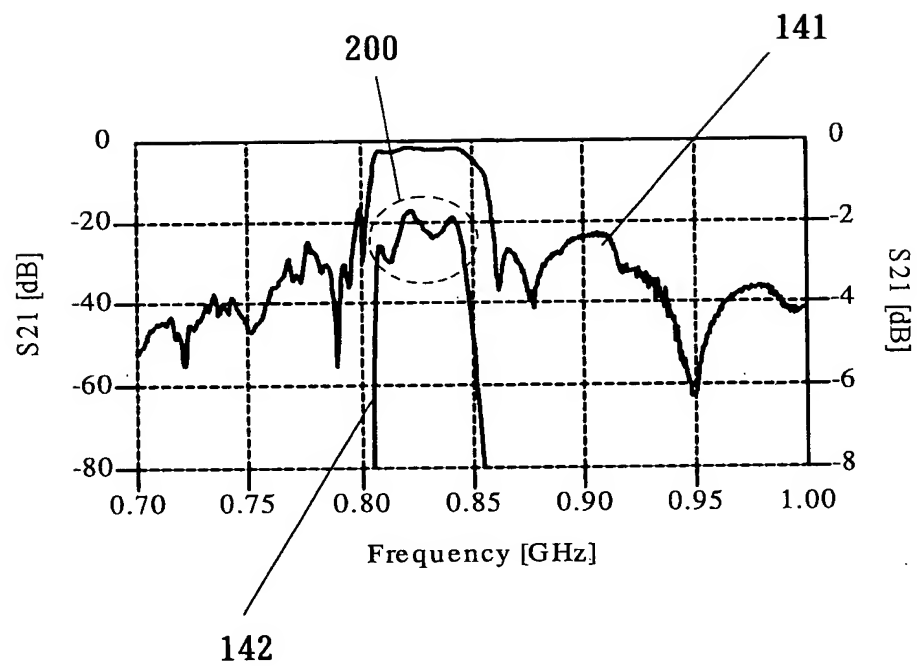


Fig. 30 PRIOR ART

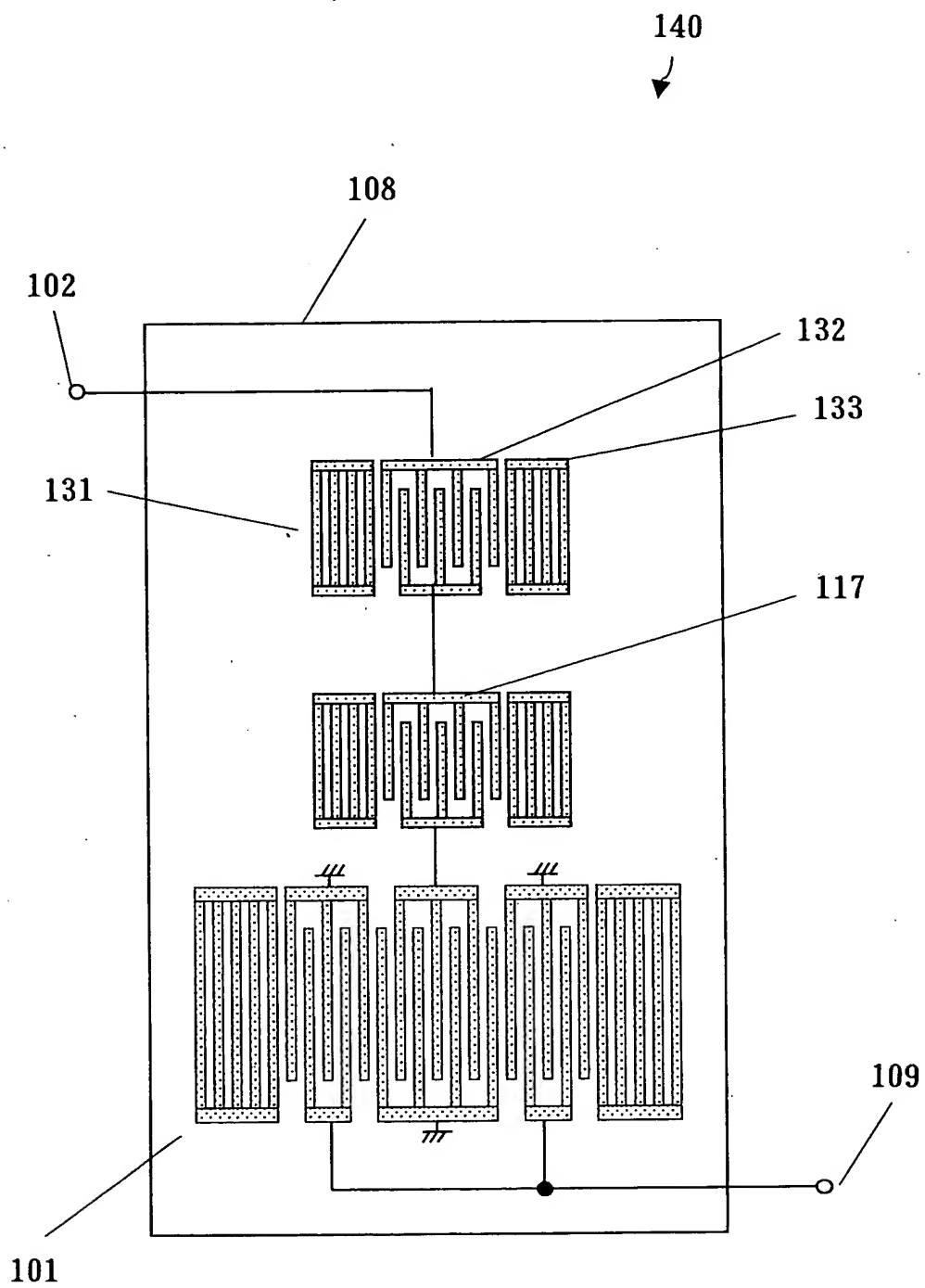


Fig. 31 PRIOR ART

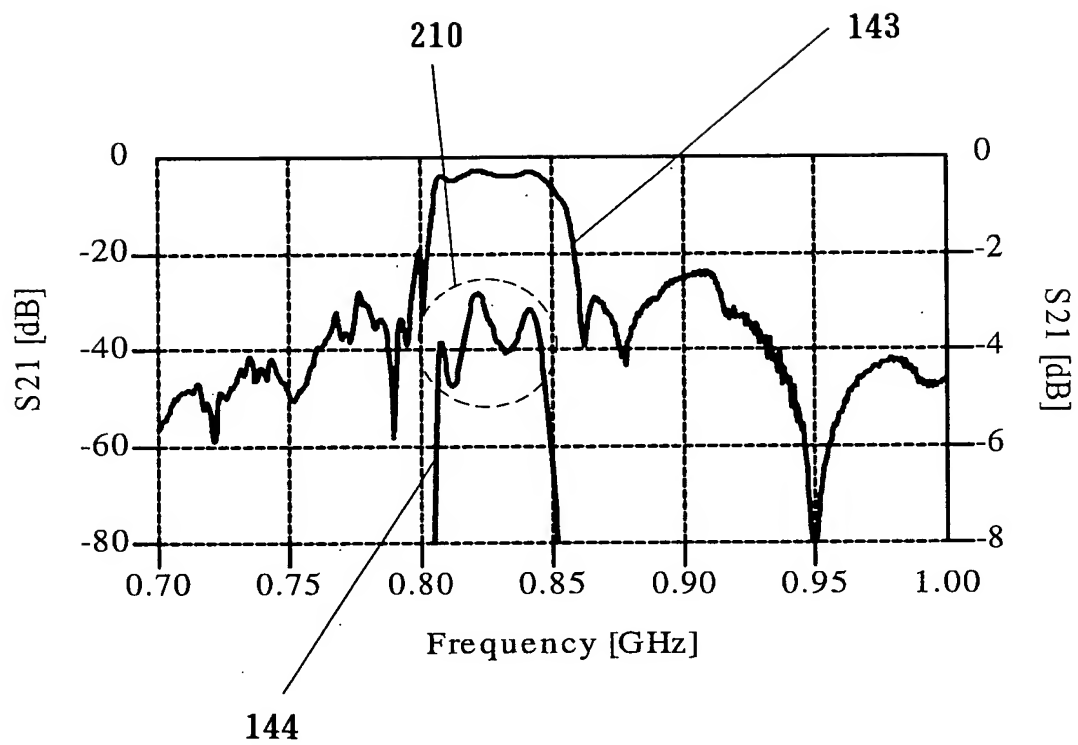




Fig. 32 PRIOR ART

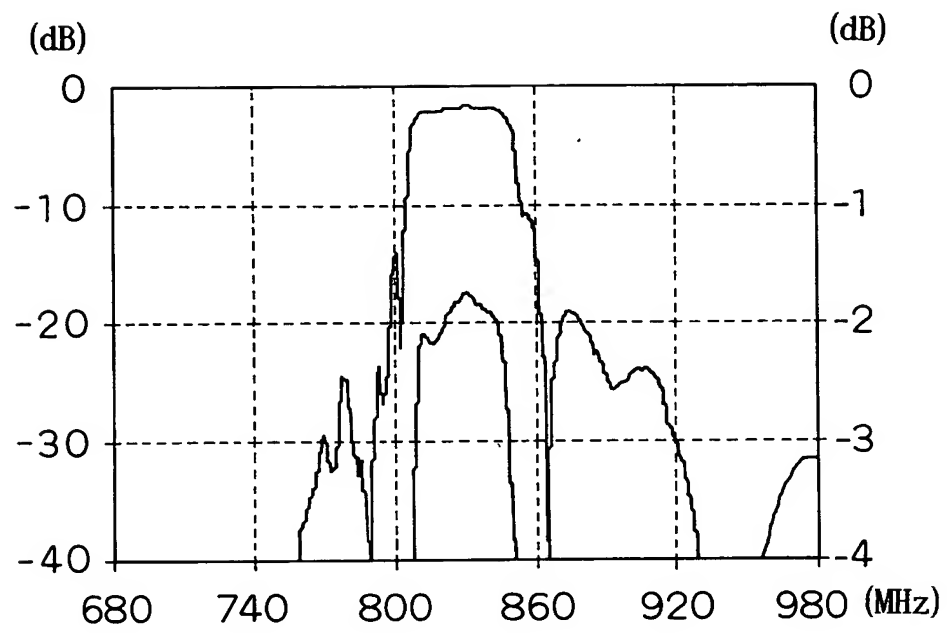


Fig. 33

